

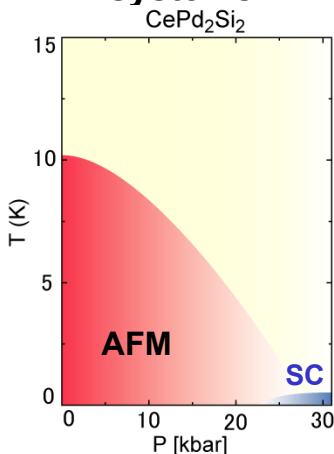
相関電子系超伝導の多様性 (I)

Diversity of Correlated Superconductivity (I)

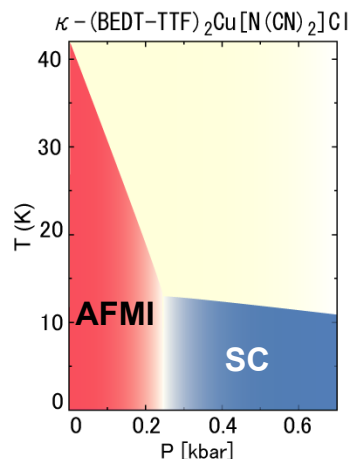
- ・有機伝導系 (Organic Systems)
- ・重い電子系 (Heavy-electrons systems)

Frontier of Superconducting Phenomena

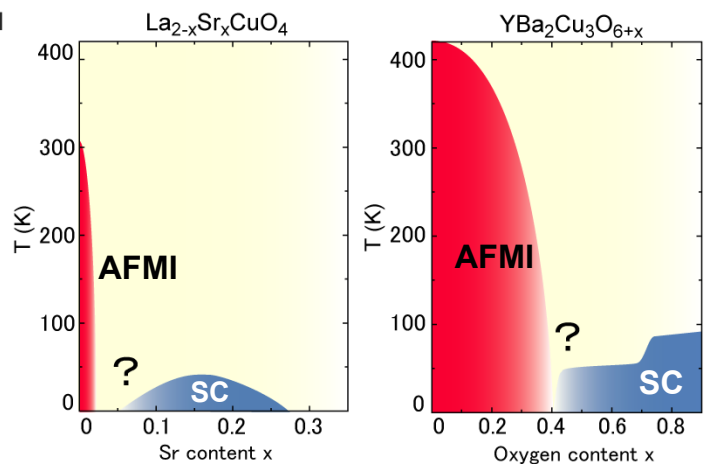
Heavy-electrons systems



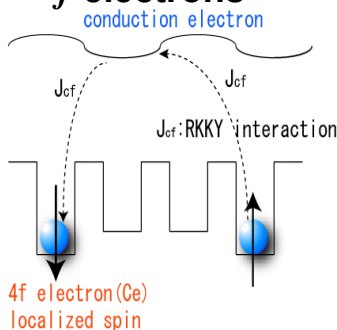
Organic conductors



High- T_c copper oxides



Nearly localized f -electrons



Half-filled p_π bands

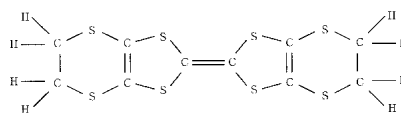
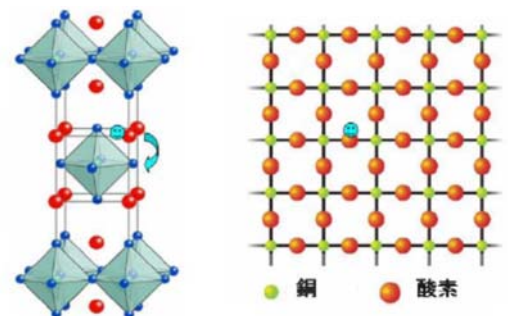


図21 (BEDT-TTF) の分子構造

Half-filled $3d$ bands

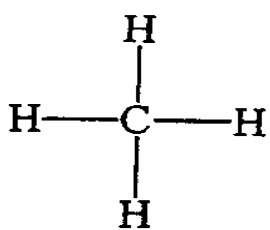


CuO_2 面

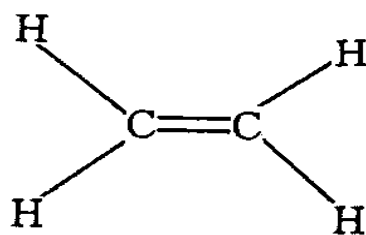
Strongly Correlated Electrons Systems

分子軌道法のまとめ

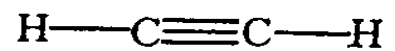
有機分子の分子軌道法とフロンティア軌道理



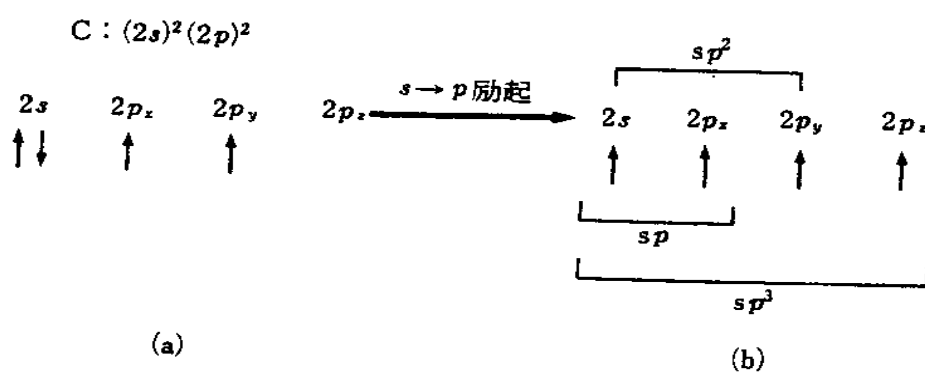
メタン



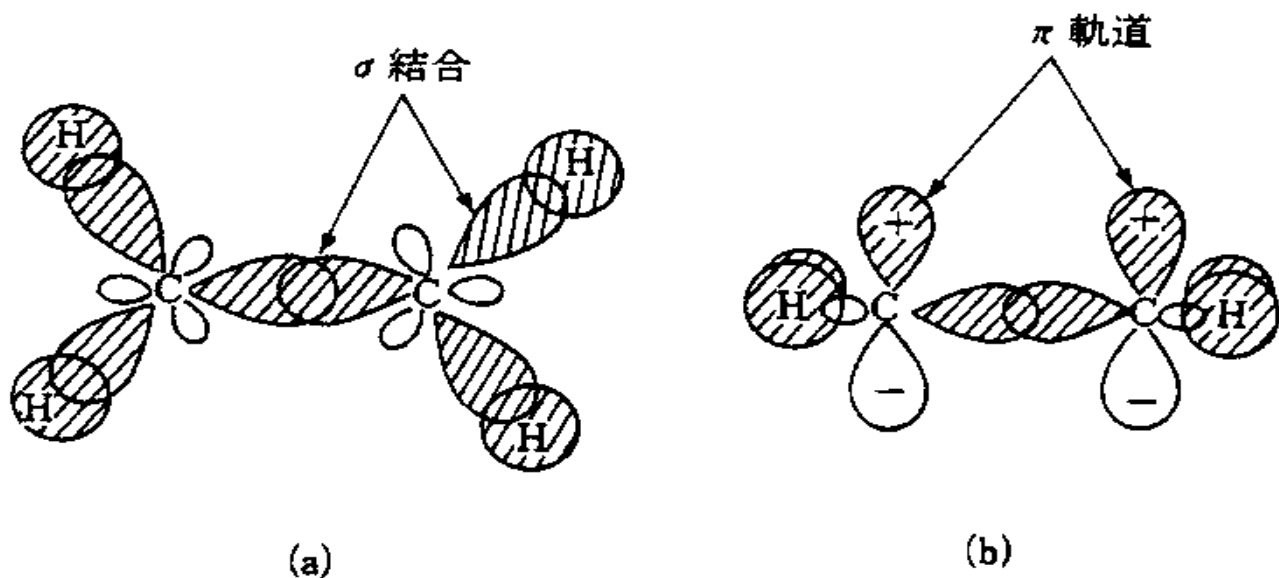
エチレン



アセチレン

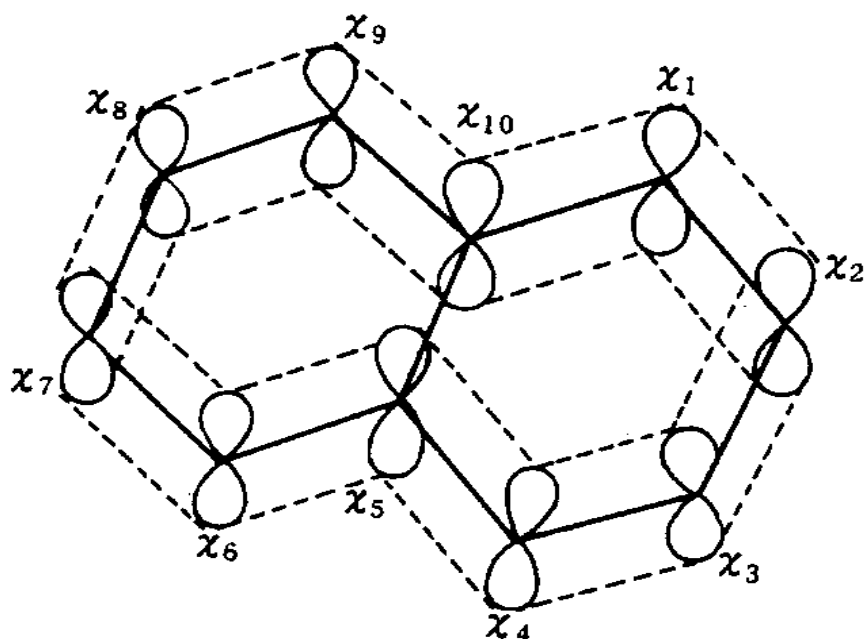


炭素原子が作る三つの混成軌道。矢印は電子スピンを表す。



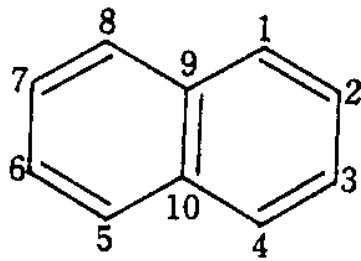
エチレンにおける σ 結合と π 軌道

フロンティア軌道理論とは何か

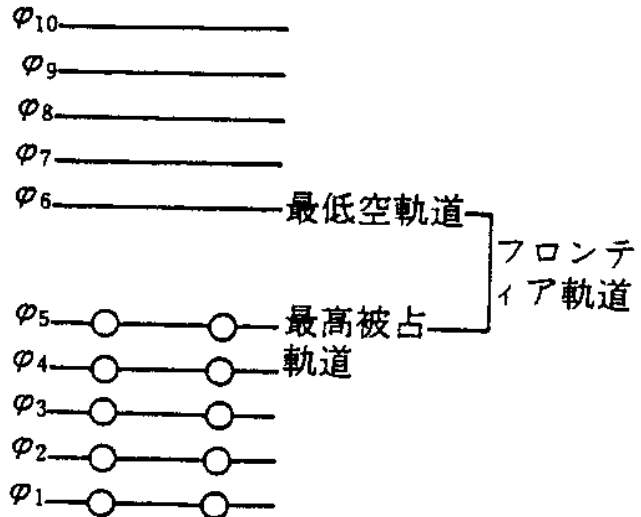


ナフタレンについて原子軌道 ($\chi_1, \chi_2, \dots, \chi_{10}$) から分子軌道 ($\varphi = c_1\chi_1 + c_2\chi_2 + \dots + c_{10}\chi_{10}$) ができる様子を視覚的に示したものの。

$$\varphi = C_1 \chi_1 + C_2 \chi_2 + \dots + C_{10} \chi_{10}$$

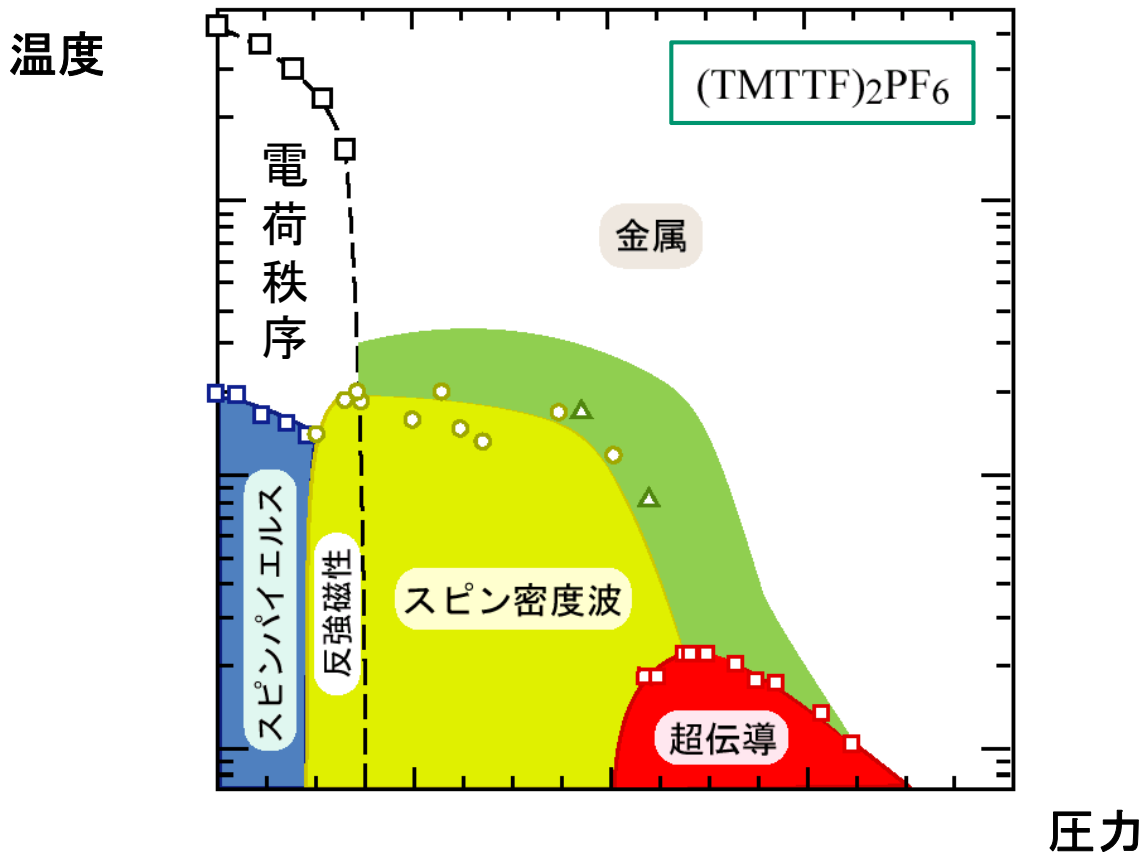


ナフタレン



シュレーディンガー方程式を解いて得られたナフタレンの10個の π 電子についての分子軌道($\varphi_1, \varphi_2, \dots, \varphi_{10}$)のエネルギー値 (図では数値は省略) をエネルギーの低い方から順番にならべたもの

Pressure-temperature Phase diagram for Quasi-1D Organic conductor



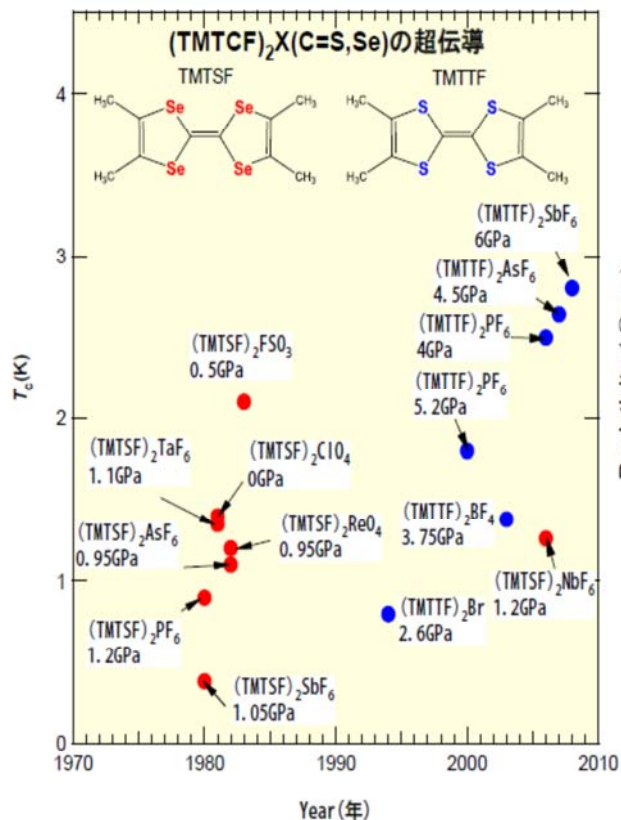


図1 (TMTCF)₂Xの超伝導出現温度と発見年度

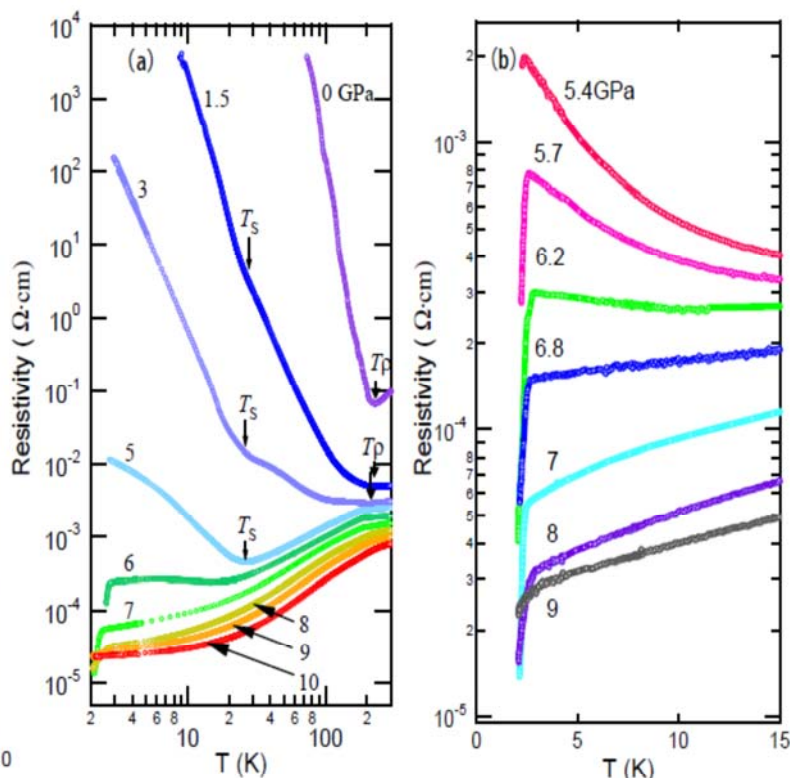


図2 (TMTTF)₂SbF₆の圧力下における電気抵抗の挙動

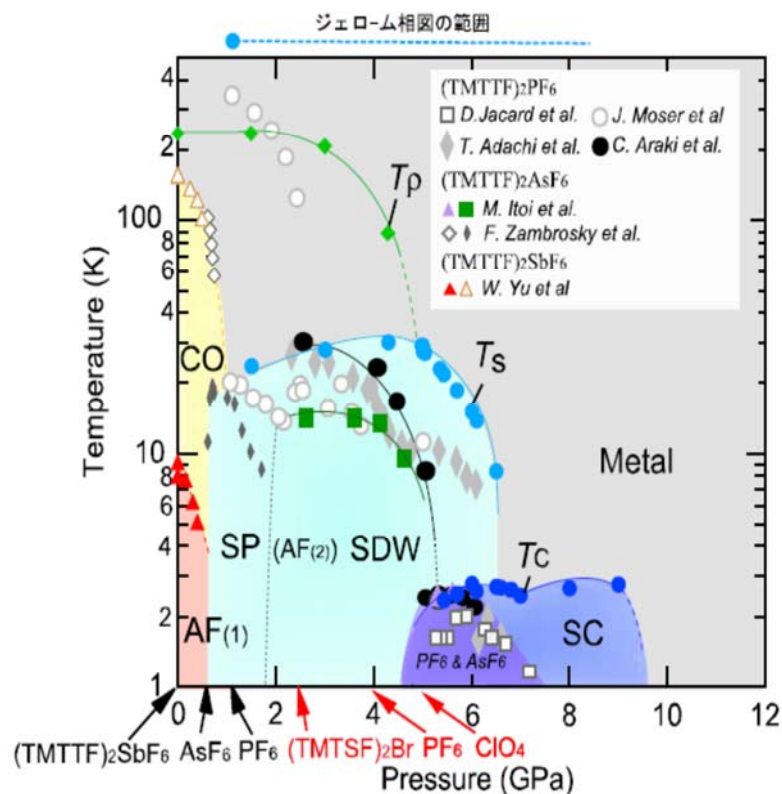
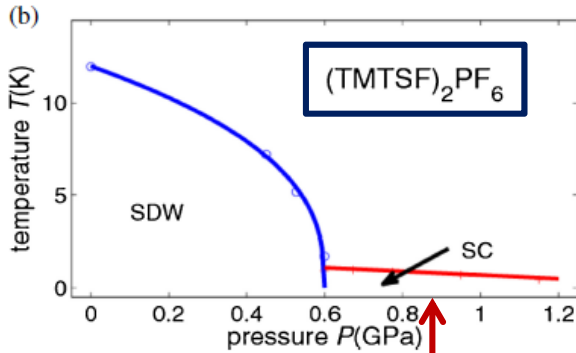
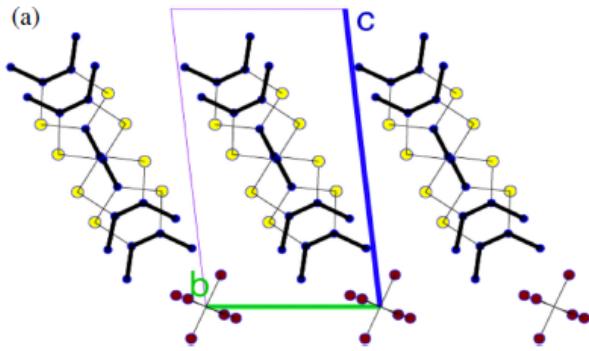
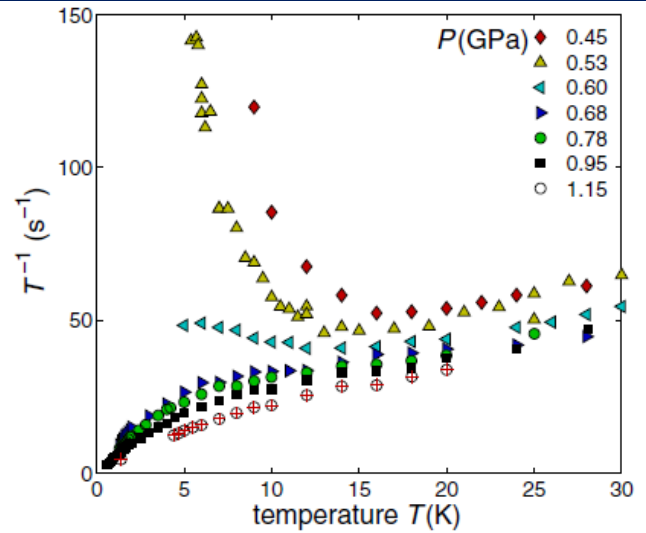


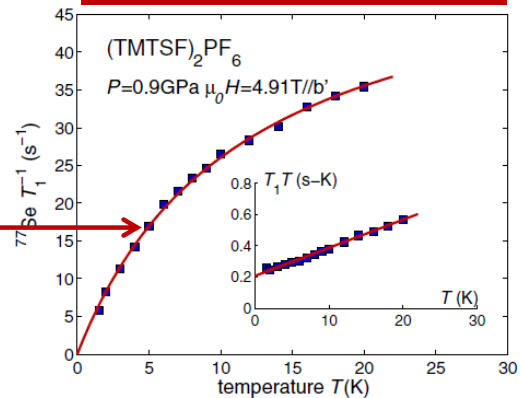
図3 (TMTTF)₂SbF₆を基にした新しい(TMTCF)₂Xの電子相関図。C, Xによる化学圧力に対応する静水圧力を矢印で示した。CO:電荷秩序相、AF:反強磁性相、SP:スピンパイエルス相、SDW: spin density wave相、SC:超伝導相を表す。



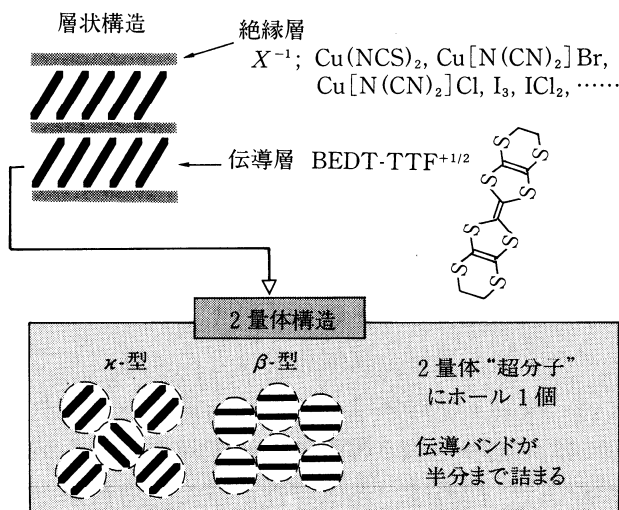
Recent topics of Organic superconductors,
Recent Developments in Superconductivity,
J. Phys. Soc. Jpn. 81 (2012) 011004.



AFM spin fluctuations



有機化合物超伝導体



第1図 (BEDT-TTF)₂Xの構造. BEDT-TTF分子には両側に4個ずつ水素が付いている.

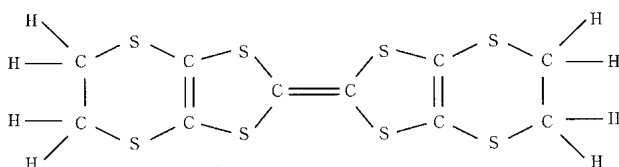
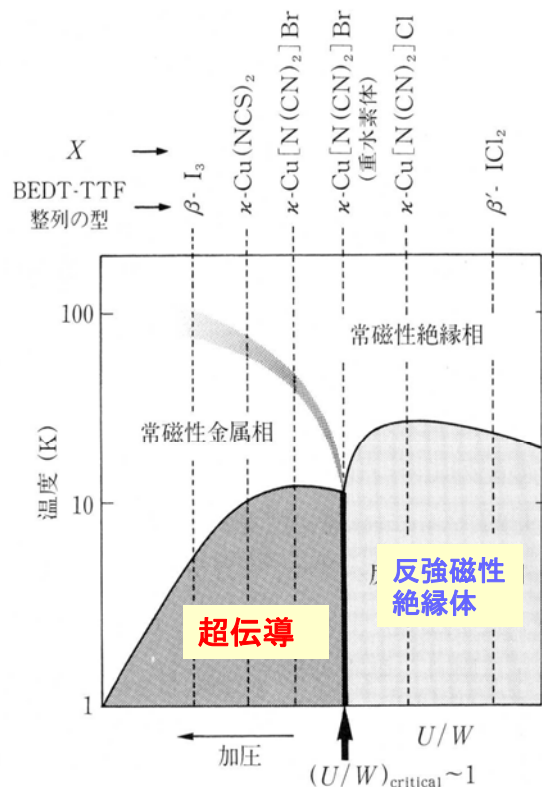


図21 (BEDT-TTF)の分子構造

超伝導-磁性相図



第2図 (BEDT-TTF)₂Xの超伝導相, 絶縁体相を説明する概念的相図.

Quasi-2D Organic Conductor

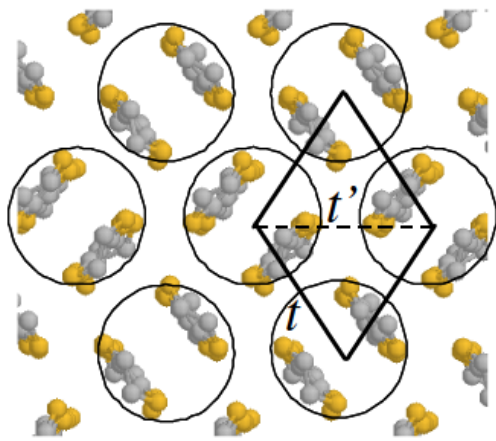


Fig. 13. (Color online) In-plane structure of BEDT-TTF layers in κ -(BEDT-TTF)₂X. The dimer lattice is modeled into an isosceles triangular lattice as described in §4.4. The t and t' stand for inter-dimer transfer integrals, which construct a model of anisotropic triangular lattice as depicted in Fig. 18.

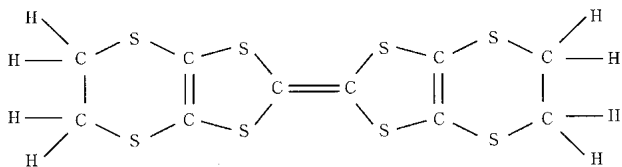
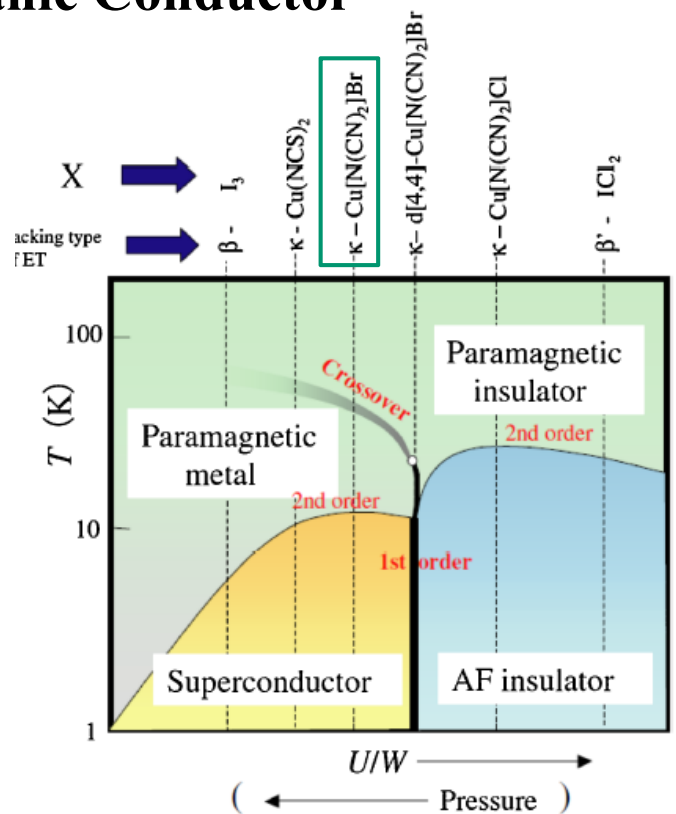
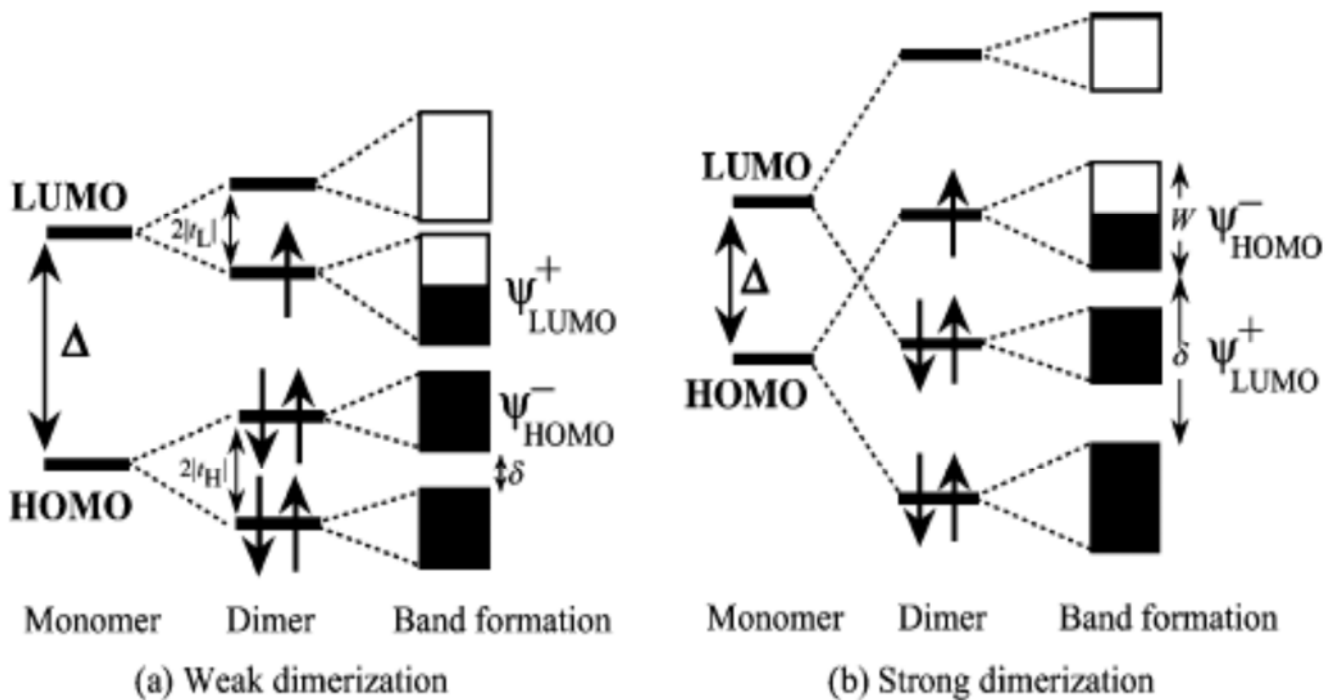


図21 (BEDT-TTF) の分子構造



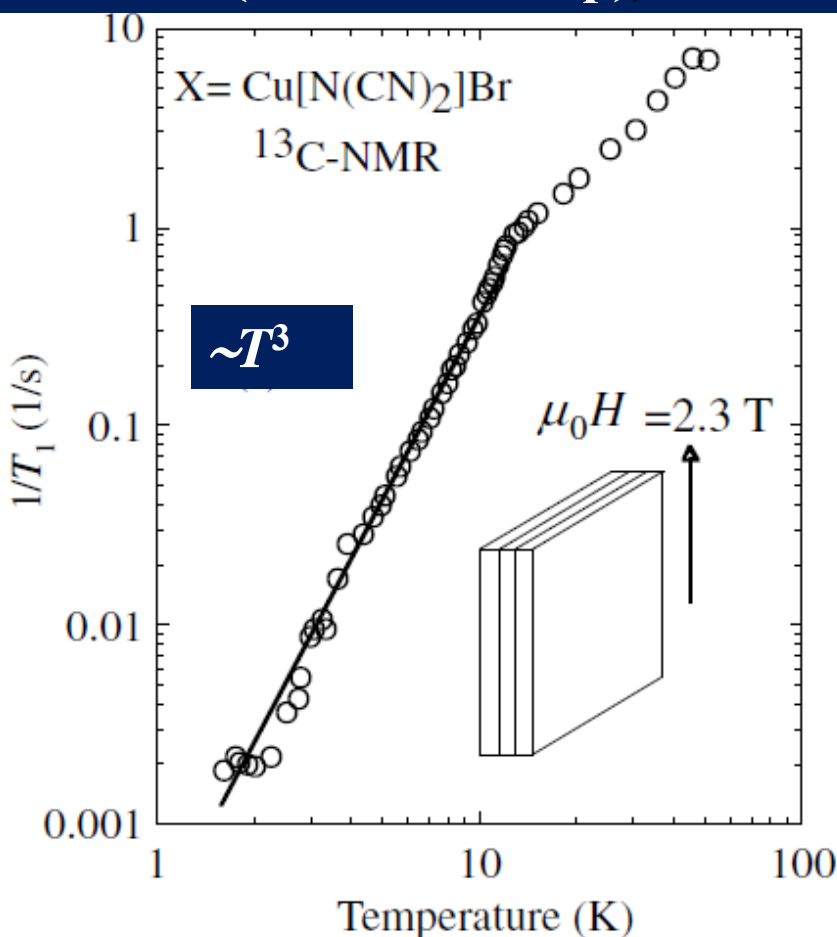
Correlated Electronic State in Dimer Organic Systems



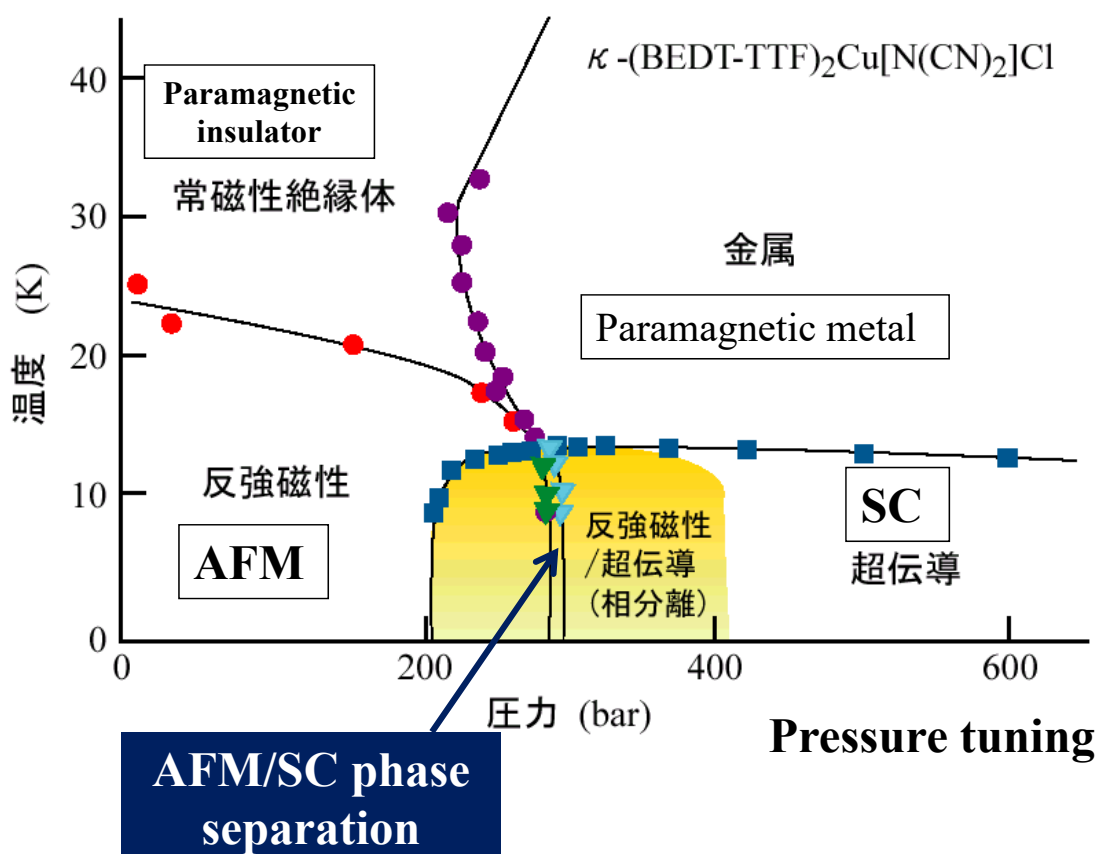
Pd(dmit)₂ is an electron acceptor and gives salts $A[\text{Pd}(\text{dmit})_2]_2$ with monovalent cation, A^{+1} .

BEDT-TTF (ET) is an electron donor and gives salts $(\text{ET})_2\text{X}$ with monovalent anion X^{-1} .

Evidence of line-node SC gap from the T_1 measurement (Kanoda Group)



Quasi-2D Organic Conductor



Spin Liquid State in an Organic Mott Insulator with a Triangular Lattice

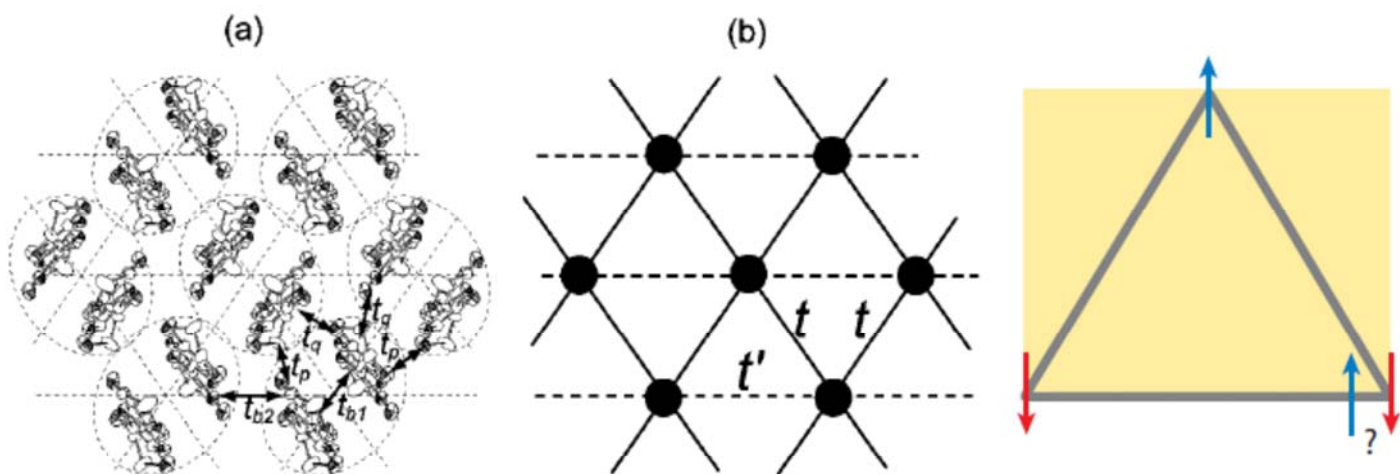
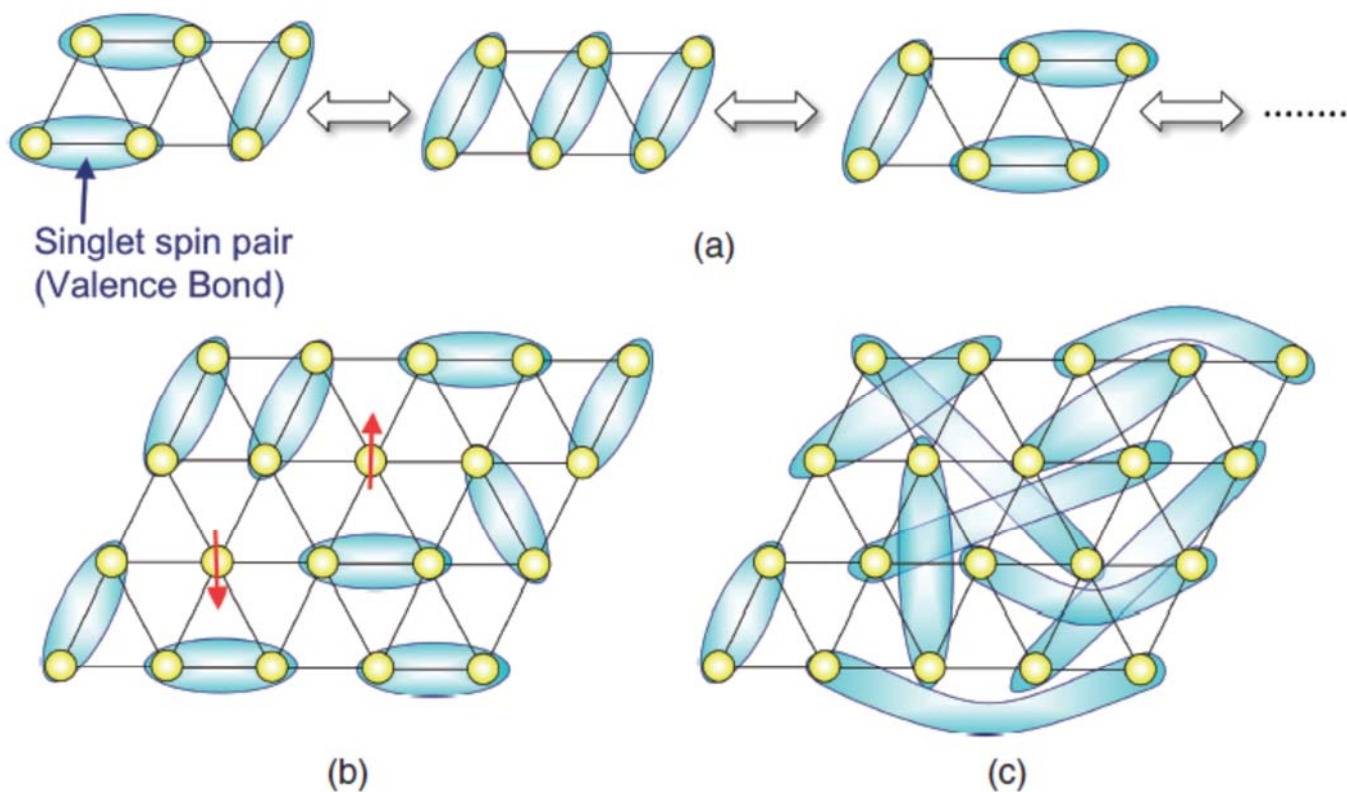


FIG. 1. (a) Crystal structure of an ET layer of κ -(ET)₂Cu₂(CN)₃ viewed along the long axes of ET molecules [4]. The transfer integrals between ET molecules, t_{b1} , t_{b2} , t_p , and t_q , are calculated as 224, 115, 80, and -29 meV, respec-



(a) Resonating valence bond in QSL. (b) Spinon. (c) Long-range valence bonds.

擬2次元有機伝導体 κ -(ET)₂X; spin-1/2 on triangular lattice

層状物質

ET layer
X layer

面内構造

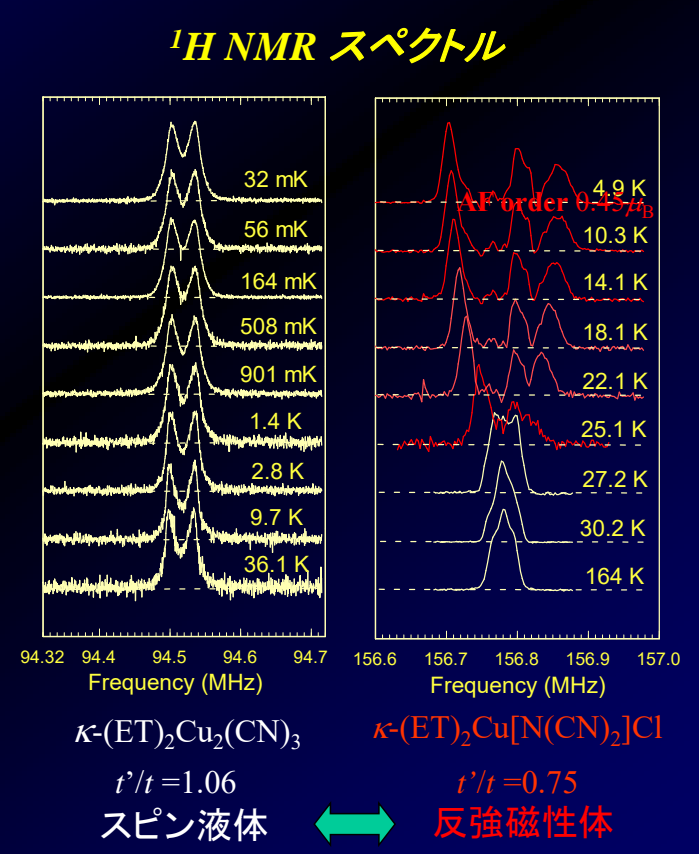
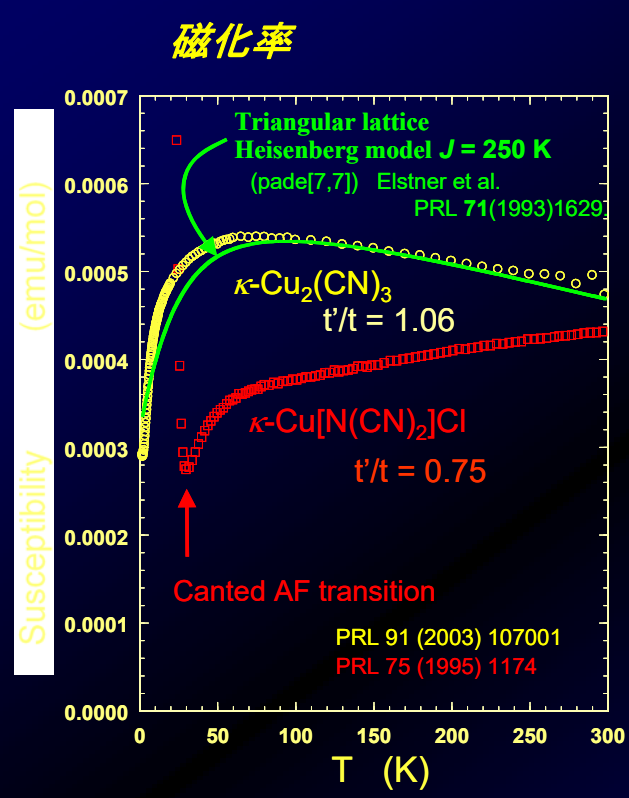
Kino & Fukuyama \Downarrow dimer model

$t'/t = 0.5 \sim 1.1$

Triangular lattice
Half-filled band

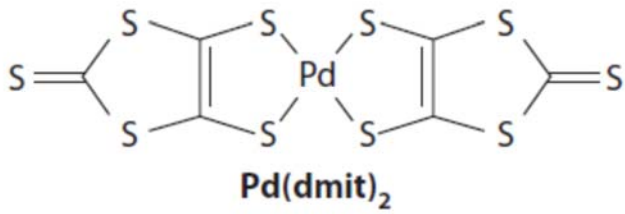
X-	Ground State	t'/t
$\text{Cu}_2(\text{CN})_3$	Mott insulator	1.06
$\text{Cu}[\text{N}(\text{CN})_2]\text{Cl}$	Mott insulator	0.75

30 mKまで磁気秩序は観測されない; スピン液体の発見

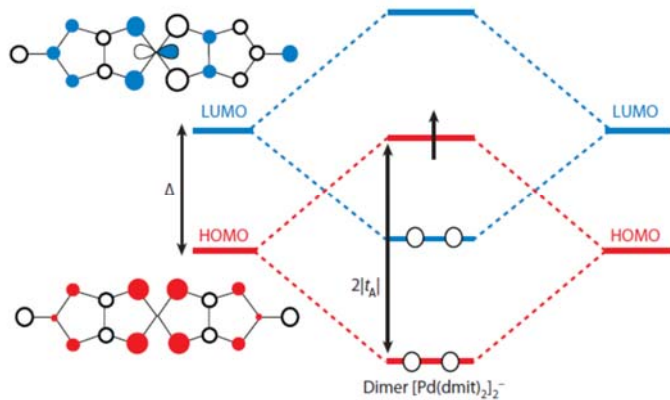
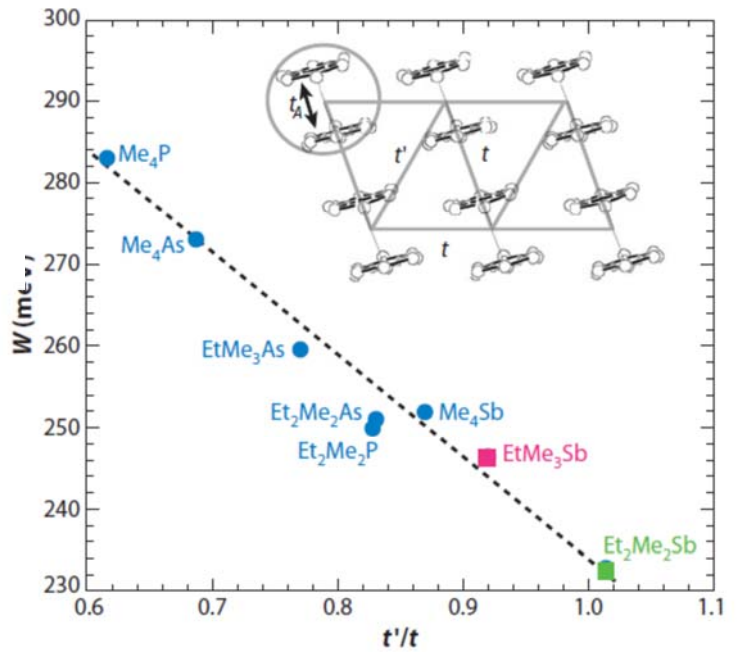


Theorist's dream came true !!

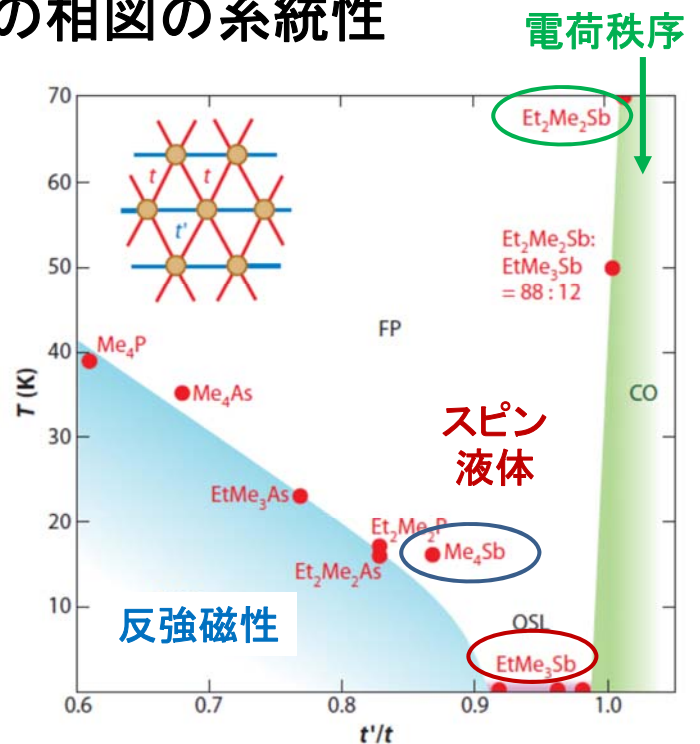
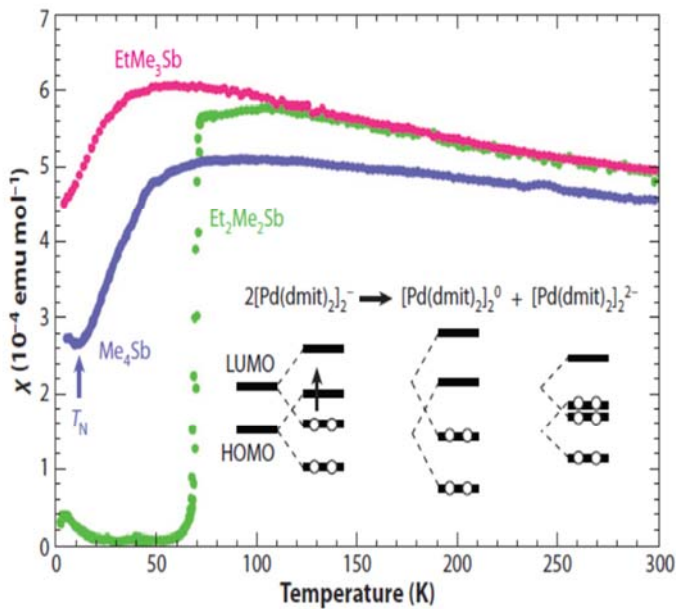
PRL 93 (2004) 127001 加圧
 PRB 69 (2004) 064511
 Nature 436 (2005) 534 金属/ 超伝導



Pd(dmit)₂ is an electron acceptor and gives salts A[Pd(dmit)₂]₂ with monovalent cation, A⁺¹.



有機三角格子系の相図の系統性

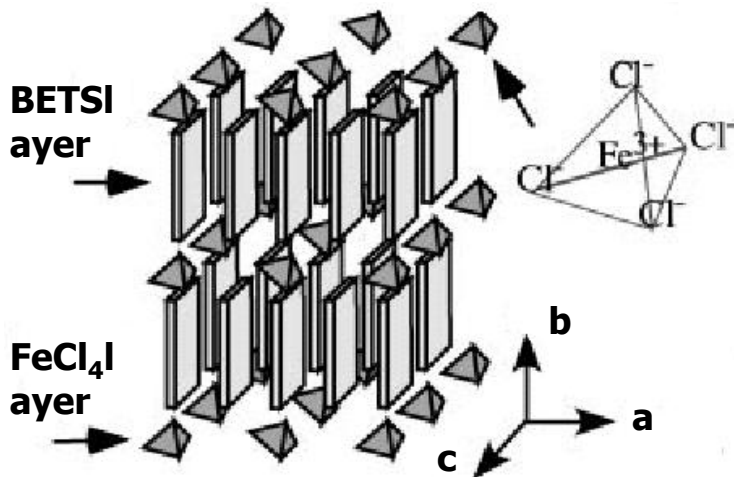


有機化合物: κ -(BETS)₂FeCl₄

BETS: 伝導層

FeCl₄: 絶縁層 (磁性層)

a, c方向の2次元の電気伝導性



Feのd電子とBETSの π 電子 (伝導電子) の負の交換相互作用が期待される

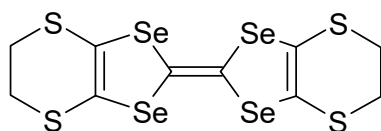


BETS上の内部磁場が外部磁場を打ち消す !?

Discovery of Magnetic Field Induced SC

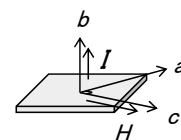
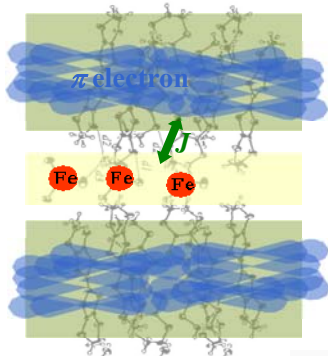
κ -(BETS)₂FeBr₄

donor molecule

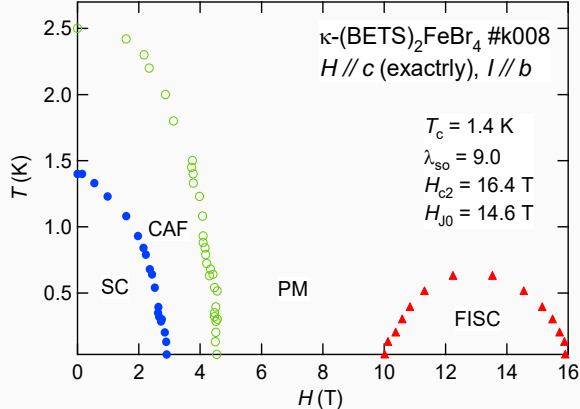
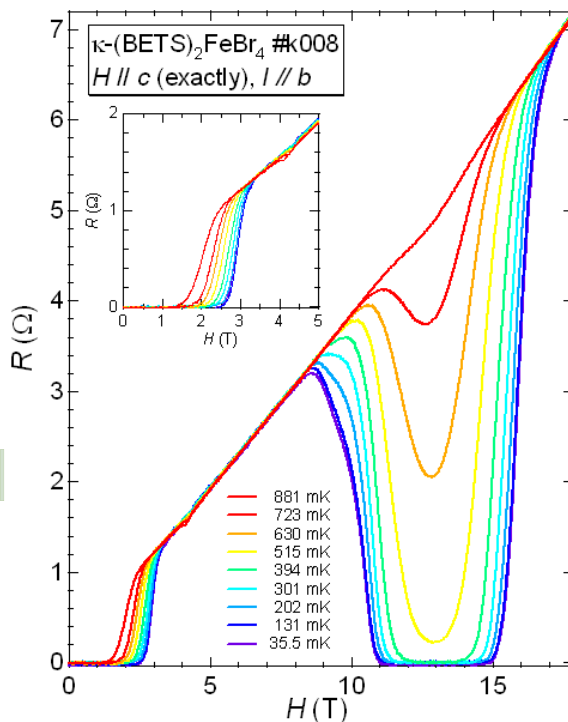


BETS

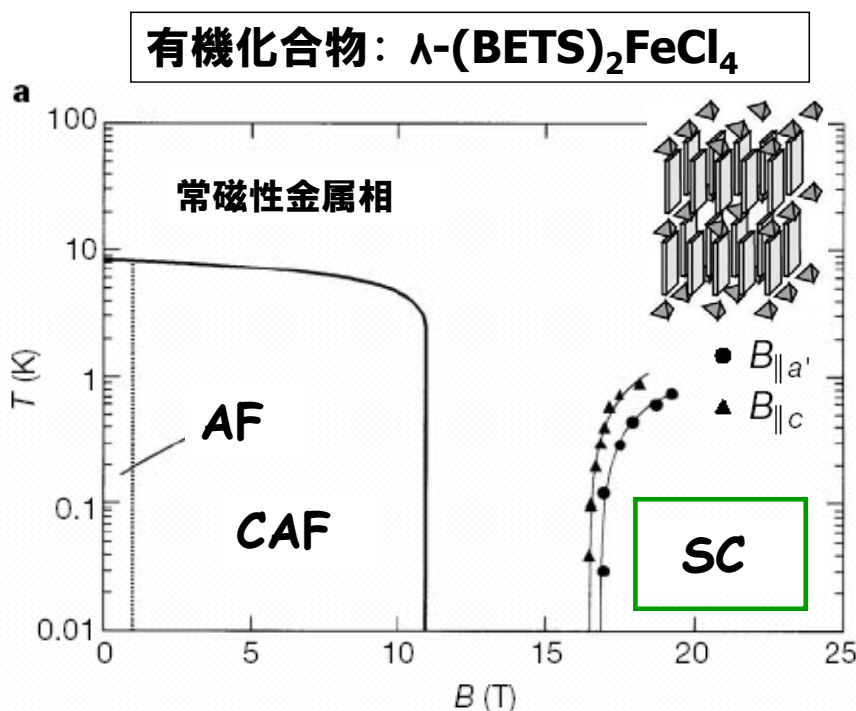
BETS= Bis(ethylenedithio)tetraselenafulvalene



Uji et al



磁場誘起超伝導



AF : 反強磁性絶縁相
CAF : キャントした反強磁性相
SC : 超伝導相

強磁場 $H > 17T$
磁場誘起超伝導相

S. Uji et al., Nature (2001)

磁場誘起超伝導体



BETS上の内部磁場が外部磁場を打ち消した状態で超伝導が発現する？

有機物磁場誘起超伝導体の π - d 相互作用

加圧による磁場誘起相図は？

URhGe



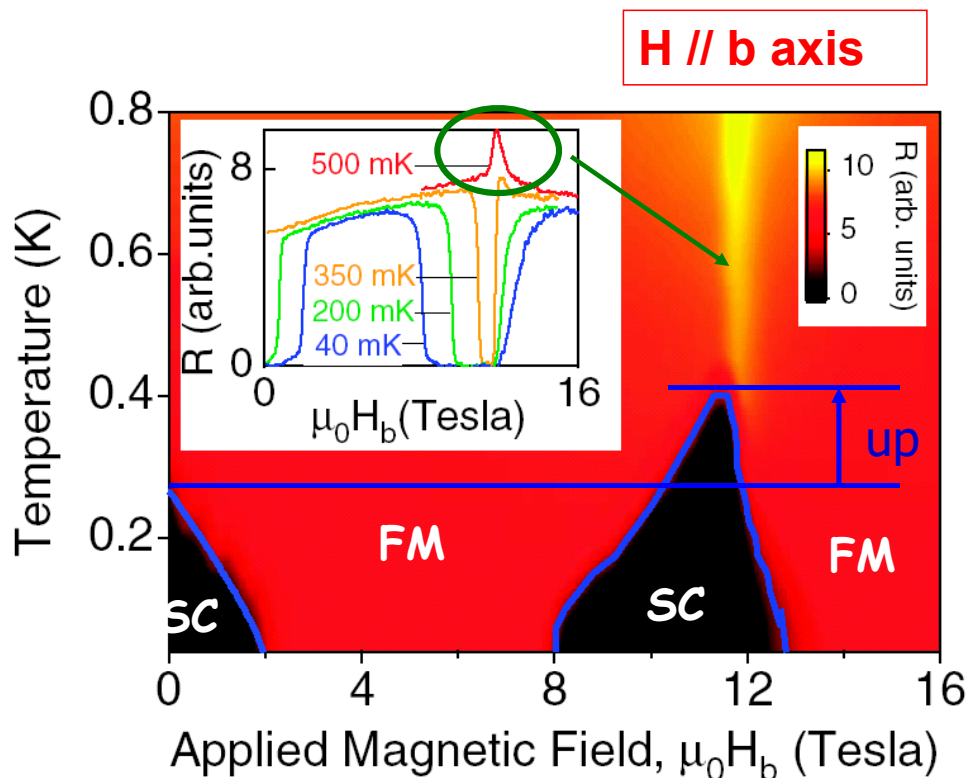
自発磁化が磁場方向に傾く過程の不安定な状況でSCが誘起される。

(SCは磁気転移と関係)

(磁場方向に向いてしまうとSCは抑制)

2つの磁場誘起超伝導の発現機構は異なる？

強磁性超伝導体URhGeの磁場誘起超伝導

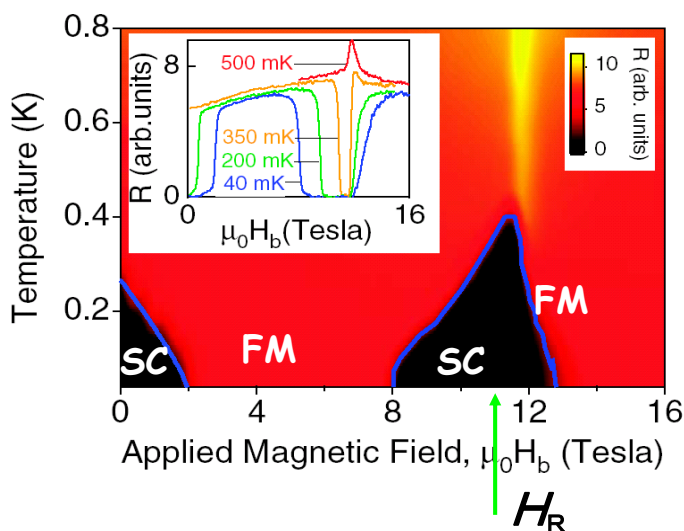


Second pocket for superconductivity (H : 8~12 tesla)

F. Levy *et al.*, Science (2005)

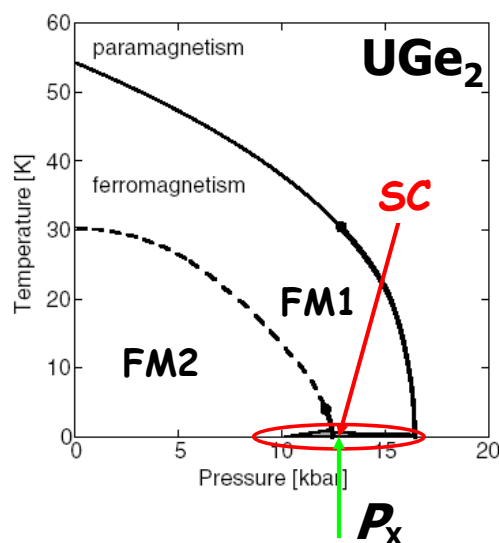
超伝導の発現は2つの強磁性状態の転移と関連

URhGe磁場誘起 SC



Change in transverse moment
at H_R

圧力誘起 SC



Change in longitudinal moment
at P_x

Other Topics in Superconductivity

Superconductivity in alkali-metal doped picene

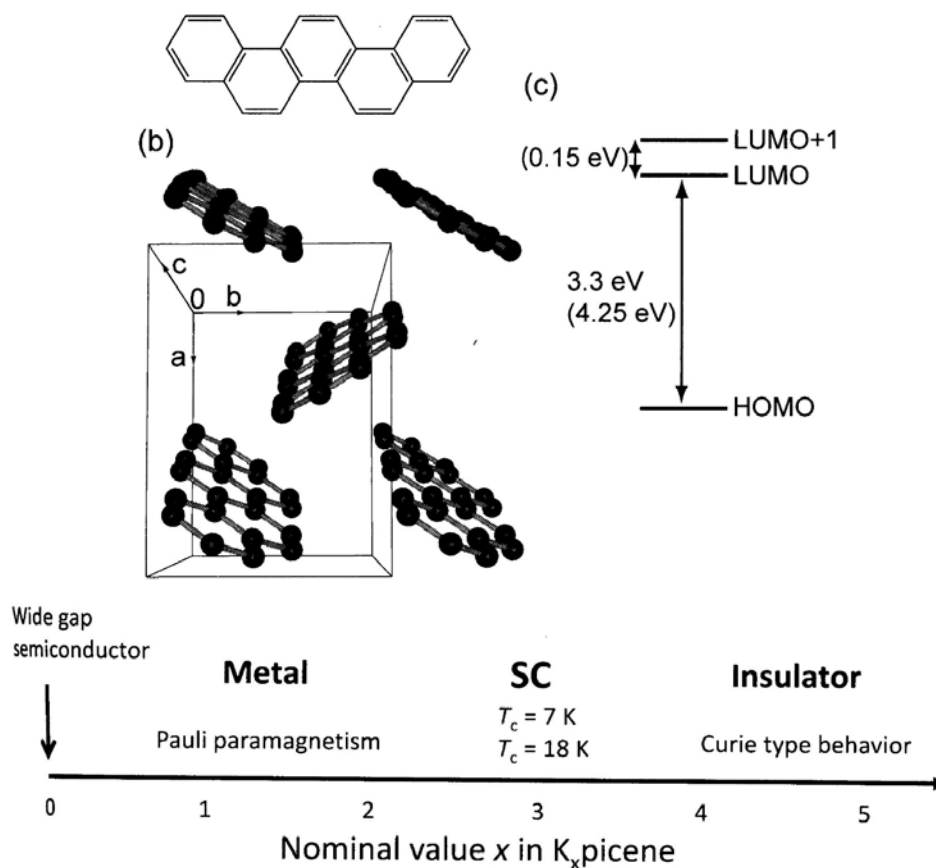
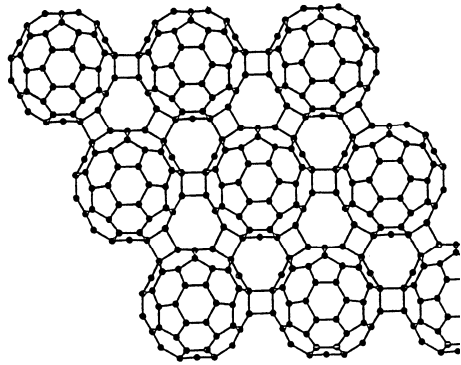
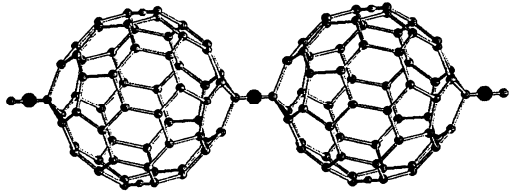


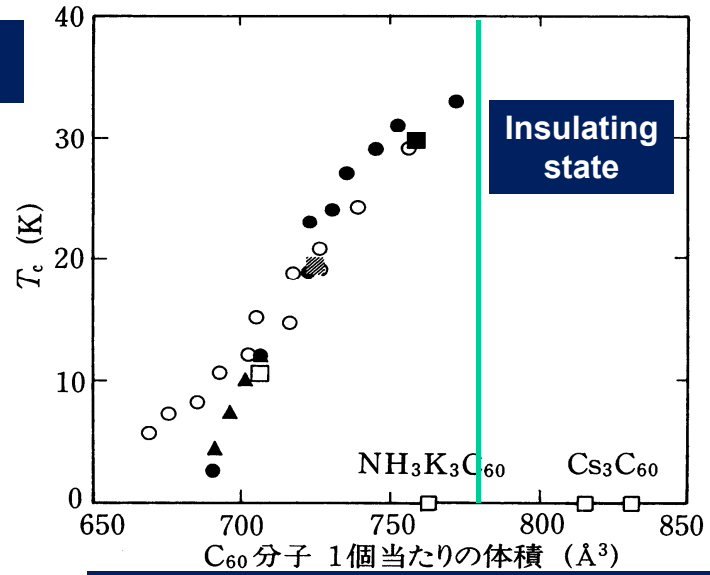
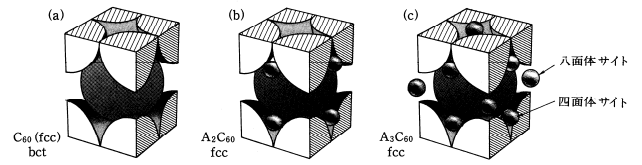
図4 カリウムをドーピングしたピセンにおいて、ドーピング量を変えたときの物性変化。超伝導相は、 $x=3$ 付近で観測される。

Fullerene (C₆₀) polymer



T_c

Superconductivity in alkali-metal doped fullerene crystal



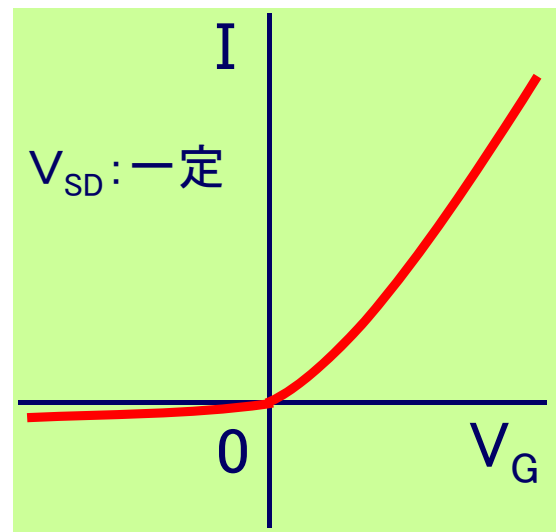
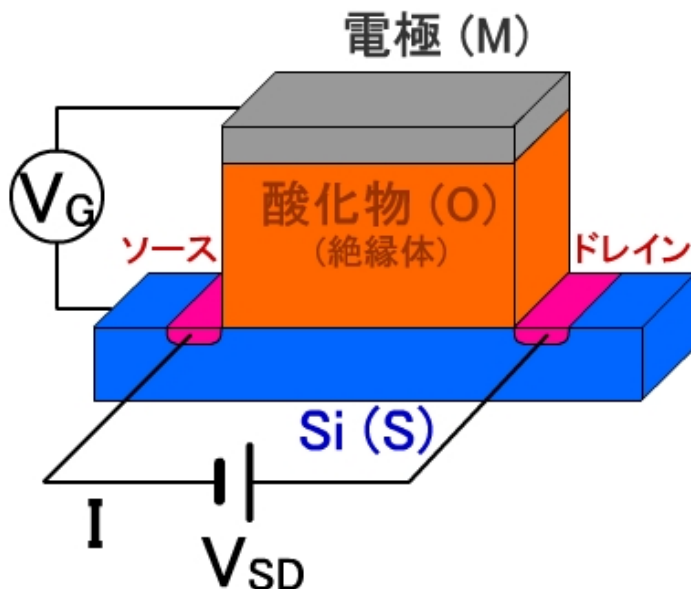
第11図

Volume per C₆₀ molecule

○は Zhou ら³⁸⁾, ●は Tanigaki ら³⁹⁾, ▲は Mizuki ら⁴⁰⁾による。

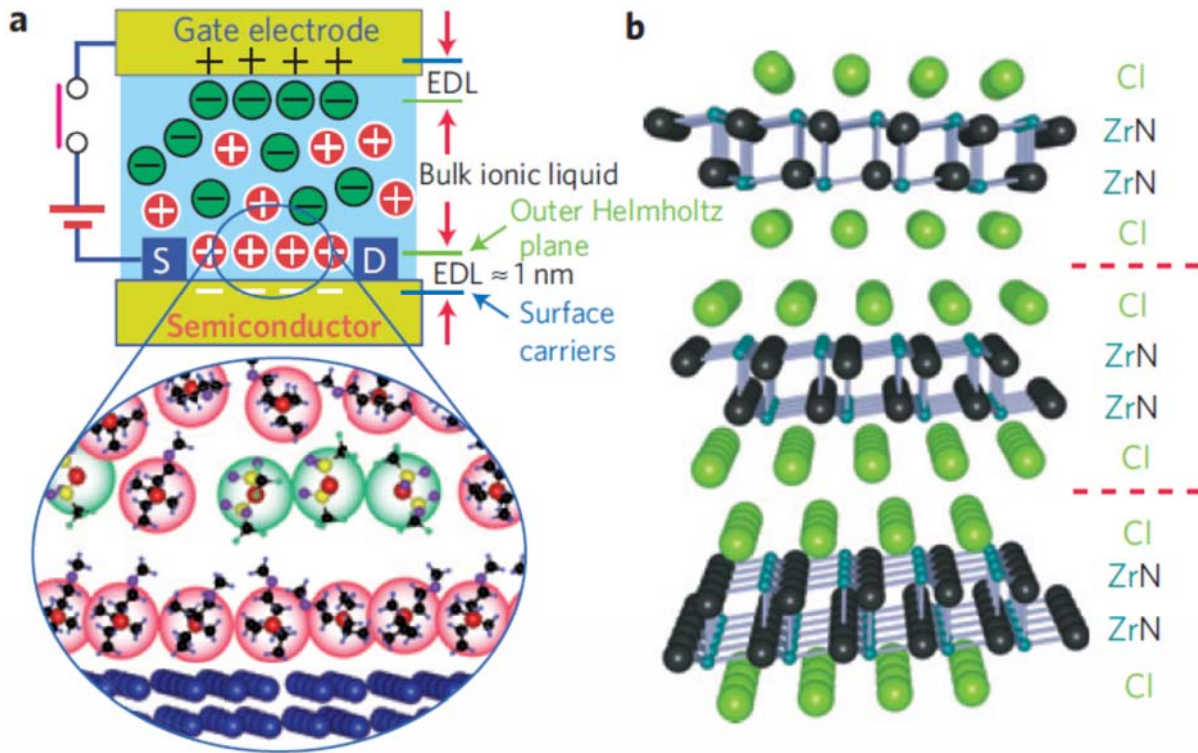
Electric Field effect Transistor (FET)

MOS device structure

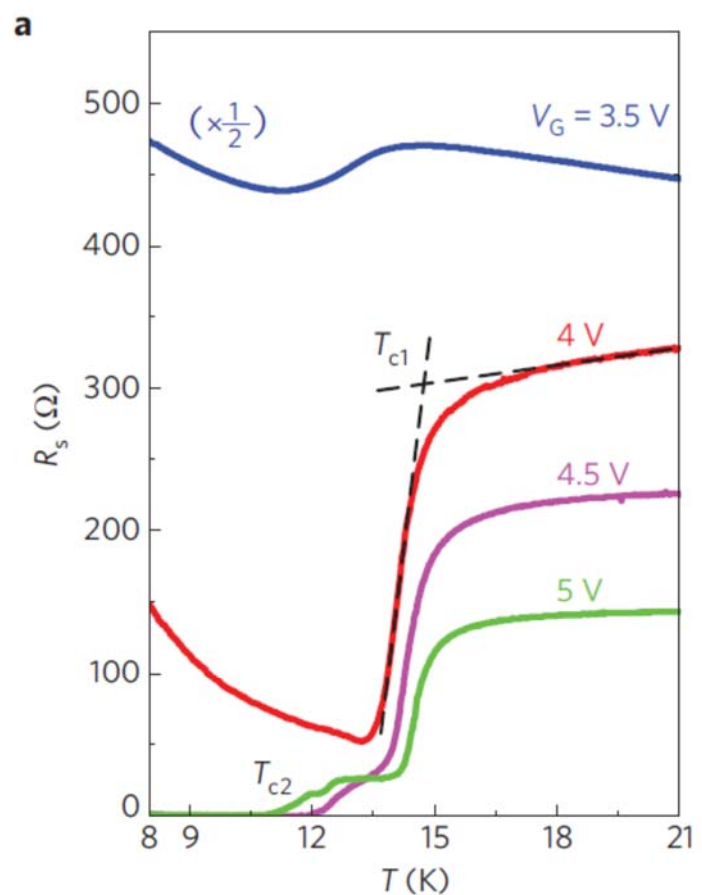
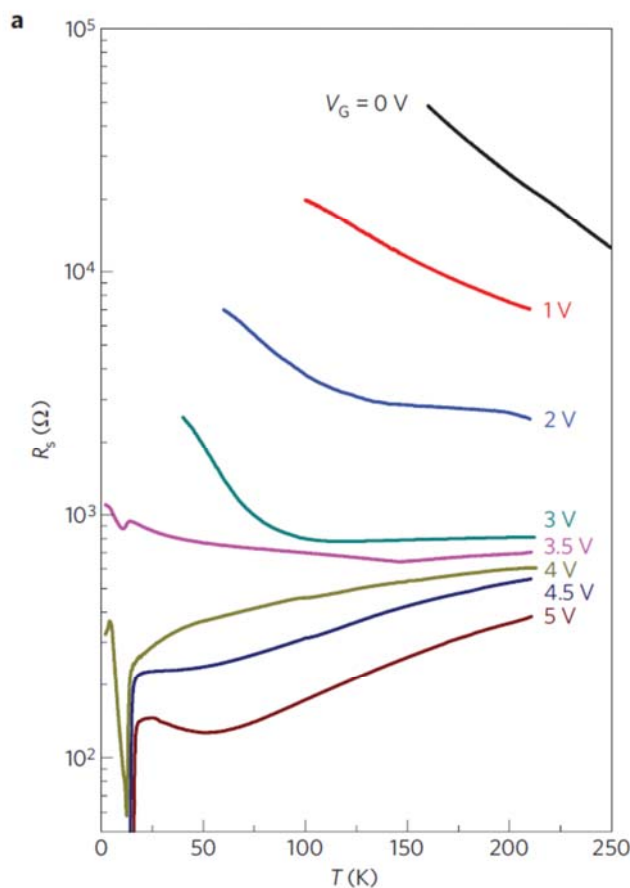


Switch function

Liquid-gated interface superconductivity on an atomically flat film



Onset of Superconductivity Driven by Electric Field



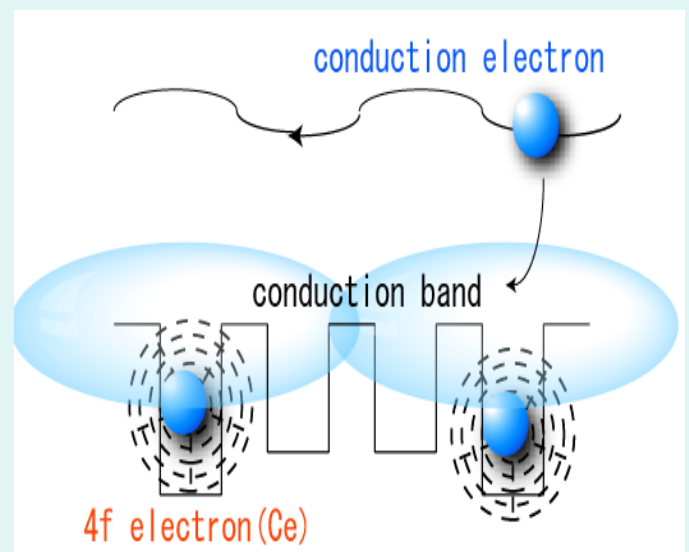
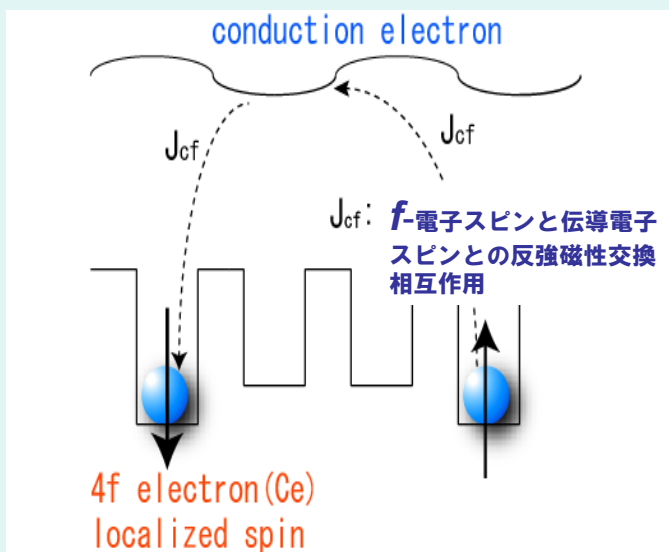
重い電子系の新奇な超伝導現象

- 結晶反転対称性のない超伝導体：スピン一重項と三重項の混成
 $CePt_3Si$, $CeRhSi_3$, $CeIrSi_3$
- 電気四重極ゆらぎに起因する強結合超伝導
 $PrOs_4Sb_{12}$
- 磁気臨界ゆらぎに起因する強結合超伝導
 $CeCu_2Si_2$, $CeMIn_5$
- 強磁性と共存する時間反転対称性の破れた超伝導
 UGe_2 , $URhGe$
- 反強磁性と超伝導の共存と競合、
 $CeIn_3$, $CeRhIn_5$ (超伝導リエントラント現象?)
- 磁場誘起超伝導
 $URhGe$

重い電子系とは —局在的 f-電子系の電子状態—

Rudermann-Kittel-Kasuya-Yoshida (RKKY) interaction

Spin-quenching (Kondo) effect

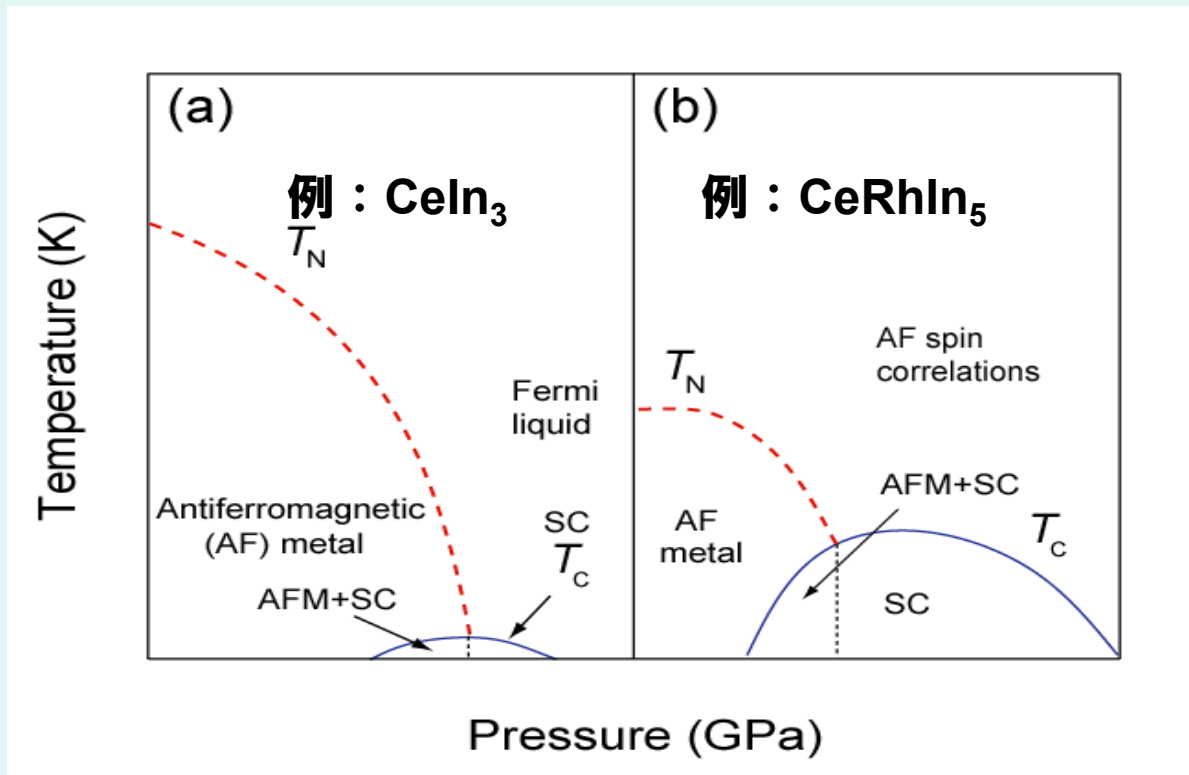


磁気秩序状態

J_{cf} の増大 (加圧)

非局在的な
重い電子状態

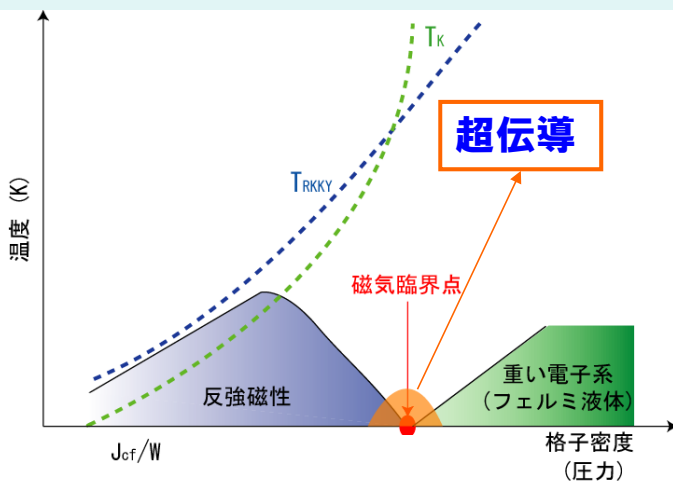
重い電子系の圧力相図



cf. (TMTTF)₂SbF₆の圧力相図

辺土ら

重い電子系の相図



RKKY相互作用

$$k_B T_{RKKY} \propto |J_{cf}|^2 D(\epsilon_F)$$

近藤効果

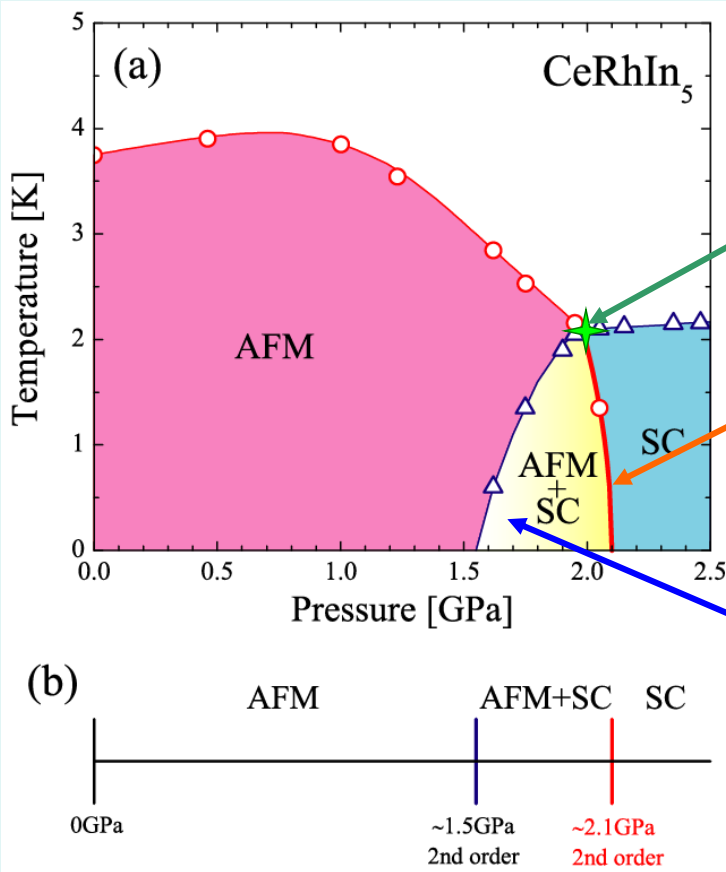
$$k_B T_K \propto \frac{1}{D(\epsilon_F)} \exp\left(-\frac{1}{J_{cf} D(\epsilon_F)}\right)$$

ドニアックの相図

圧力によって J_{cf} をコントロール

J_{cf} : 伝導電子とf電子の反強磁性交換相互作用

反強磁性と超伝導の圧力-温度相図

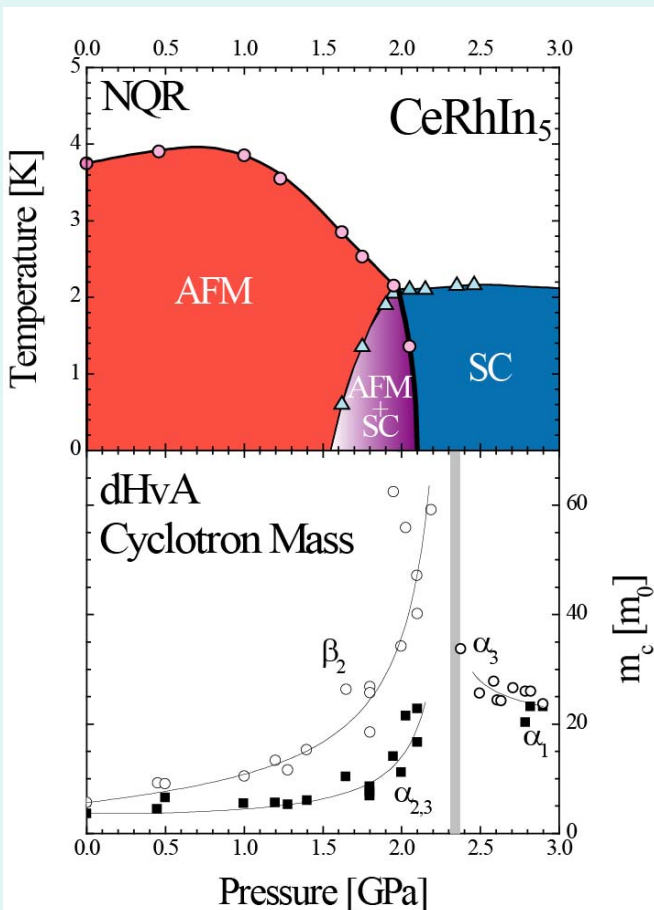


四重臨界点

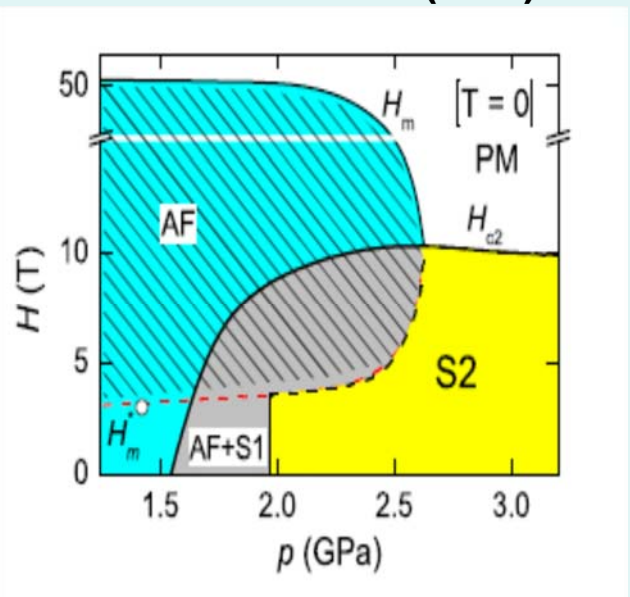
2次相転移
(AFM+SC \leftrightarrow SC)

ギャップレスSC
(AFM+SC)

今後の研究課題



超伝導と反強磁性の 磁場-圧力相図 ($T=0$)

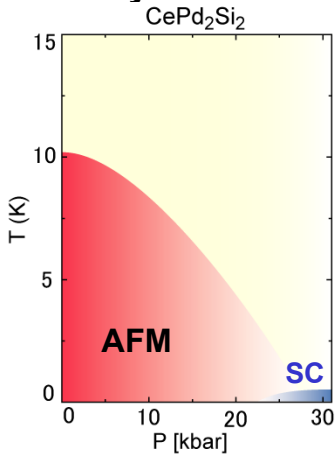


Coexistence of antiferromagnetism and superconductivity in CeRhIn_5 under high pressure and magnetic field

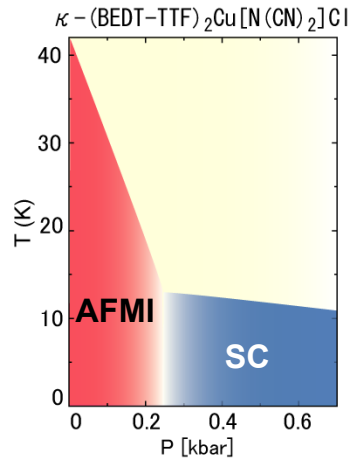
G. Knebel, D. Aoki, y D. Braithwaite, B. Salce, and J. Flouquet

Frontier of Superconducting Phenomena

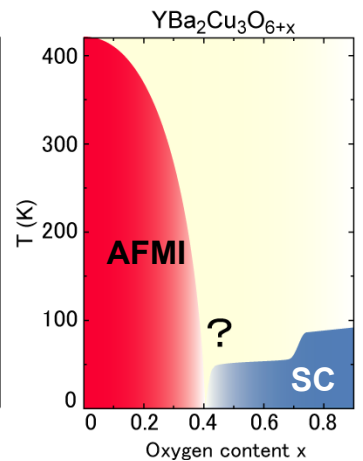
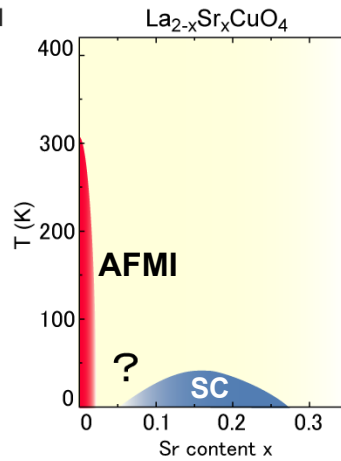
Heavy-electrons systems



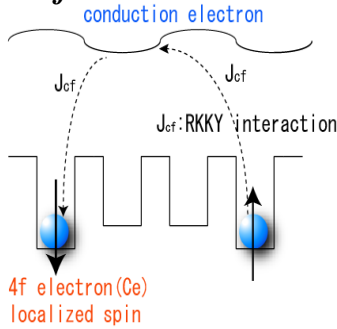
Organic conductors



High- T_c copper oxides



Nearly localized f -electrons



Half-filled p_π bands

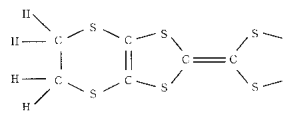
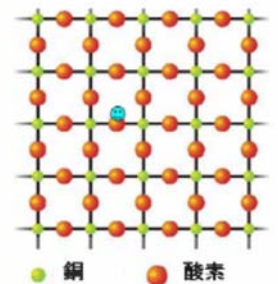
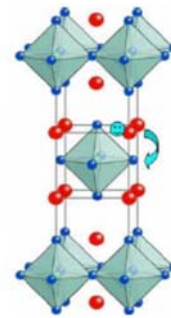


図21 (BEDT-TTF) の分子構造

第 33 超伝導のフロンティア | 44

Half-filled $3d$ bands



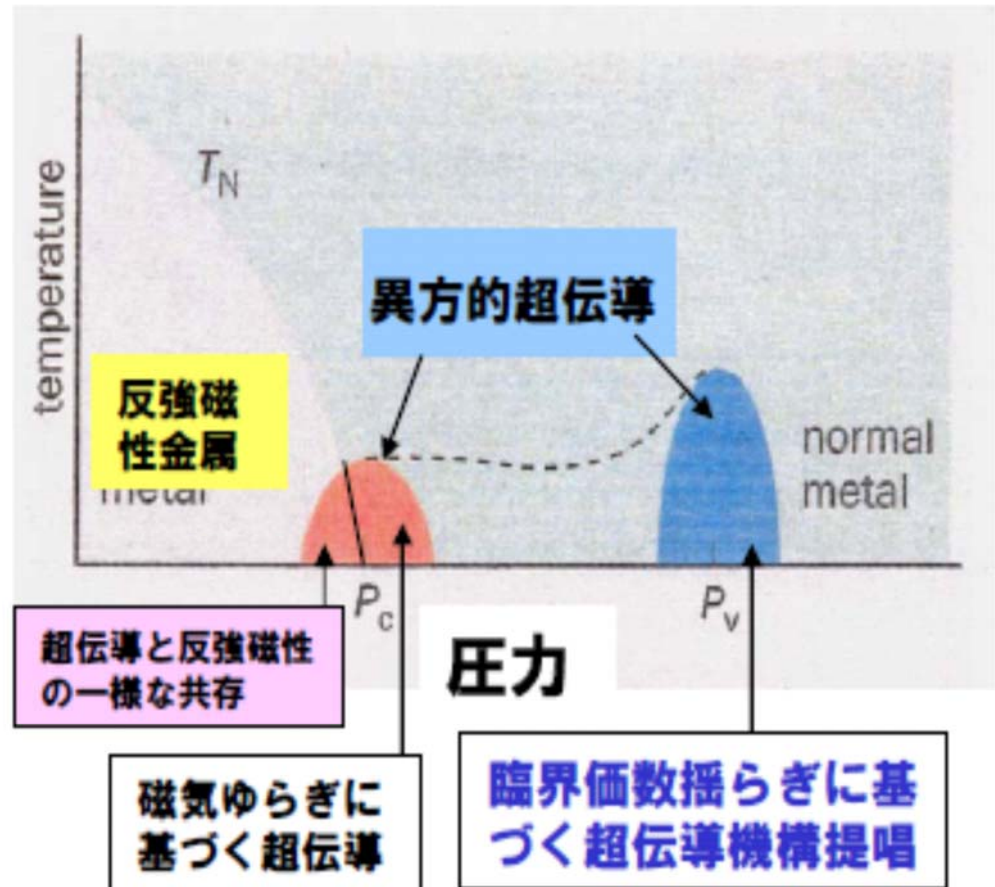
CuO_2 面

Strongly Correlated Electrons Systems

CeCu_2Si_2

CeNi_2Ge_2

CeIn_5



三宅ら

おわり